マルチカメラを用いた3次元シーンフロー推定に関する研究

画像認識講座 水野 宏基 指導教授 藤吉 弘亘

1. はじめに

近年、ユビキタス社会におけるユザビリティの向上として、人の自然動作に近いインターフェイスであるジェスチャ認識の実現が期待されている。本研究では、ジェスチャ認識に応用が可能である技術として、3次元シーンフローを用いたモーション推定法を提案する。

2. 提案手法の流れ

対象とする3次元シーンフローは、複数の画像中のオプティカルフローから求められる[1].一般に2次元オプティカルフローは多くのノイズやアウトライアが含まれる。そのため、復元される3次元シーンフローにも多くのノイズが含まれ、アウトライアが発生する。そこで、本研究では物体の運動が短時間では剛体であると仮定し、Subspace 拘束を用いた3次元シーンフローの修正を行う。次に、復元した3次元シーンフローから物体のモーションパラメータを推定する。図1に本手法の流れを示す。

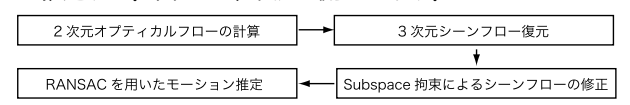


図1:提案手法の流れ

3. 3 次元シーンフローの復元

運動モデルと観測行列 シーン内の運動が剛体であると仮定した場合,ある時刻jにおける対象物体中の点 x_i のシーンフロー v_{ij} は,次式のように,平行移動ベクトル t_j と,回転速度ベクトル ω_j を用いて表現することができる.

$$egin{array}{lll} oldsymbol{v}_{ij} & = t_j + oldsymbol{\omega}_j imes \mathbf{z}_i & \mathbf{v}_{ij} = t_j + oldsymbol{\omega}_j imes \mathbf{z}_i & \mathbf{v}_{ij} = t_j + oldsymbol{\omega}_j imes \mathbf{z}_{ij} \end{bmatrix}^T & oldsymbol{x}_i = \left[X_{x_i}, X_{y_i}, X_{z_i} \right]^T \\ oldsymbol{t}_j & = \left[t_{x_j}, t_{y_j}, t_{z_j} \right]^T & : & \mathrm{PRET} \mathbf{v}_j & \mathrm{PRET} \mathbf{v$$

式(1)を展開すると次式となる.

$$\begin{bmatrix} v_{x_{ij}} \\ v_{y_{ij}} \\ v_{z_{ij}} \end{bmatrix} = \begin{bmatrix} \frac{s_{x_j}}{s_{y_j}} \\ \frac{s_{y_j}}{s_{z_j}} \end{bmatrix}_{(3\times 6)} q_{i(6\times 1)}$$
 (2)

$$\begin{array}{lcl} \boldsymbol{s}_{x_{j}} & = & \left[t_{x_{j}}, 0, 0, 0, -\omega_{z_{j}}, \omega_{y_{j}}\right] \\ \boldsymbol{s}_{y_{j}} & = & \left[0, t_{y_{j}}, 0, \omega_{z_{j}}, 0, -\omega_{x_{j}}\right] \\ \boldsymbol{s}_{z_{j}} & = & \left[0, 0, t_{z_{j}}, -\omega_{y_{j}}, \omega_{x_{j}}, 0\right] \\ \boldsymbol{q}_{i} & = & \left[1, 1, 1, X_{x_{i}}, X_{y_{i}}, X_{z_{i}}\right]^{T} \end{array}$$

ここで、式 (2) は単位時間の空間中の一点のみの運動を表現した式である。N 点 M フレームの情報を扱うために式 (2) を以下のように拡張する。

$$\left[\frac{\underline{V_x}}{\underline{V_y}} \right]_{(3M \times N)} = \left[\frac{\underline{S_x}}{\underline{S_y}} \right]_{(3M \times 6)} Q_{(6 \times N)} \quad (3)$$

$$oldsymbol{S}_{x} = egin{bmatrix} oldsymbol{s}_{x_1} \ dots \ oldsymbol{s}_{x_M} \end{bmatrix}, \quad oldsymbol{S}_{y} = egin{bmatrix} oldsymbol{s}_{y_1} \ dots \ oldsymbol{s}_{y_M} \end{bmatrix}, \quad oldsymbol{S}_{z} = egin{bmatrix} oldsymbol{s}_{z_1} \ dots \ oldsymbol{s}_{z_M} \end{bmatrix}$$

ここで, $[V_x/V_y/V_z]$ を観測行列と呼ぶ.瞬間的な物体の運動は等速であると仮定した場合, S_x , S_y , S_z 各行列

のランクは全て 1 以下となるため,行列 $[S_x/S_y/S_z]$ のランクは 3 以下となる.観測行列 $[V_x/V_y/V_z]$ は行列 Q と行列 $[S_x/S_y/S_z]$ の積で表現されており,小さい方のランクに制限される.よって,観測行列のランクは 3 以下となる.

Subspace 拘束を用いたシーンフローの修正 2次元オプティカルフローにノイズやアウトライアが含まれる場合,シーンフローから得られる観測行列のランクは3以上となる。そこで復元されたシーンフローに対し、Subspace 拘束によるランク制限を施すことで精度を向上させる。

Suspace 拘束を用いてランク制限を施すために、複数フレームのシーンフローの成分を v_x , v_y , v_z それぞれ観測行列に当てはめる。次に、観測行列に対し、特異値分解を行い次式を得る。

$$\begin{bmatrix} \frac{V_x}{V_y} \\ V_z \end{bmatrix}_{(3M \times N)} = U_1 D U_2^T$$
 (4)

 U_1 は $3M \times 3M$ の直交行列, U_2 は $N \times N$ の直交行列,D は特別な対角行列であり。D の対角要素は特異値と呼ばれ,ベクトル $d = [d_1, d_2, \ldots, d_{3M}]^T$ で表す.ここで,観測行列のランクを 3 に制限するには対角成分が $d' = [d_1, d_2, d_3, 0, \ldots, 0]^T$ となる行列 D' を次式のように求める.

$$\boldsymbol{D}' = \begin{bmatrix} d_1 & 0 & \dots & \dots & 0 \\ 0 & d_2 & 0 & \dots & \dots & 0 \\ 0 & 0 & d_3 & 0 & \dots & 0 \\ 0 & \dots & \dots & 0 & \dots & 0 \\ 0 & \dots & \dots & \dots & \dots & 0 \\ 0 & \dots & \dots & \dots & \dots & 0 \end{bmatrix}_{(3M \times N)}$$

この D' から, U_1 と U_2 用いて新しい観測行列を以下のように計算する.

$$\begin{bmatrix} \frac{V_{x}'}{V_{y}'} \\ \frac{V_{z}'}{V_{z}'} \end{bmatrix}_{(3M \times N)}' = U_{1}D'U_{2}^{T}$$
 (5)

得られた新しい観測行列 $[V_x'/V_y'/V_z']'$ は、ランクが 3 の行列となり、式 (1) に示す運動モデルに従うシーンフローに修正することができる。

4. シーンフローを用いたモーション推定

シーン内のある点 x_i における運動 v_{ij} が得られた場合, 時刻 j における式 (1) は次式のように変形できる.

$$oldsymbol{v}_{ij} = \left[egin{array}{cc} -[oldsymbol{x}_i]_ imes & oldsymbol{I}_{(3 imes3)} \end{array}
ight] \left[egin{array}{c} oldsymbol{\omega}_j \ \hline oldsymbol{t}_j \end{array}
ight]$$

 $\left[oldsymbol{x}_i
ight]_{ imes}: oldsymbol{x}_i$ の歪対称行列, $oldsymbol{I}_{(3 imes3)}: 3 imes3$ の単位行列 これを N 点に拡張すると次式を得る。

$$\begin{bmatrix} \mathbf{v}_{1j} \\ \vdots \\ \mathbf{v}_{Nj} \end{bmatrix} = \begin{bmatrix} -[\mathbf{x}_1]_{\times} & \mathbf{I}_{1(3\times3)} \\ \vdots & \vdots \\ -[\mathbf{x}_N]_{\times} & \mathbf{I}_{N(3\times3)} \end{bmatrix} \begin{bmatrix} \underline{\boldsymbol{\omega}_j} \\ \underline{\boldsymbol{t}_j} \end{bmatrix}$$
(6)

ここで、未知数は $\omega_j = [\omega_{x_j}, \omega_{y_j}, \omega_{z_j}]^T$ と $t_j = [t_{x_j}, t_{y_j}, t_{z_j}]^T$ の 6 つとなる.式 (6) からは、 $3 \times N$ の式を得ることができるが、歪対称行列 $[x_i]_\times$ のランクは 2 であるため、N=2 の場合,式 (6) は一意に解を決定することができない.よって、3 点以上の v_{ij} と x_i の組から最小二乗法を用いることで,剛体運動の各パラメータを推定する.

2節で述べた Subspace 拘束により修正した 3次元シーンフローは、運動モデルのランクに従った運動となる。このとき、Subspace 拘束ではシーンフローの大きさと方向を修正することは可能であるが、本来存在しないところに得られたシーンフローを除去することはできない。そこで、このようなアウトライアを除去してパラメータを推定するために、本研究では RANSAC を用いる。

5. 実験

提案手法の評価実験として、シミュレーションと実画像を用い、3次元シーンフロー復元とモーション推定を行う。また、本実験では、基準フレームから前後 1 フレームのシーンフローから観測行列を作成し、シーンフローの復元と修正を行う (M=2).

5.1. シミュレーションによるシーンフロー復元実験

シミュレーションでは、立方体、球、任意の形状の3種類の物体に対し、平行移動、回転運動、平行移動と回転が同時に発生した場合の計9シーケンスのシーンフローを対象とする。シーンフローの大きさと方向に対し、正規乱数を用いてノイズを与え、シーンフローの存在位置に対し、10点に1点の確率でアウトライアを生成する。シミュレーションにより生成したシーンフローと、Subspace 拘束を用いた修正シーンフローの例を図2に示す。図2(a)では

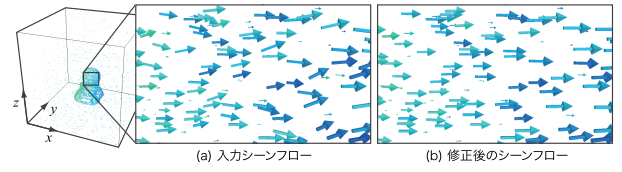


図2:シミュレーション実験結果の例

分散しているシーンフローが、Subspace 拘束により、同一の方向へ修正されていることが分かる。シーンフローの精度の評価として、シーンフローの真値 v_t と復元されたシーンフローv との方向の類似度を式 (7) より、また大きさに対する評価を式 (8) より計算する。

方向に対する類似度 :
$$\cos \theta = \frac{\boldsymbol{v} \cdot \boldsymbol{v}_t}{||\boldsymbol{v}|| ||\boldsymbol{v}_t||}$$
 (7)

大きさの差のノルム :
$$\frac{|||v|| - ||v_t||}{||v_t||}$$
 (8)

図3に、9シーケンスに対し、角度、大きさに対する真値との類似度を平均した結果を示す。 図3(a) はシーンフロー

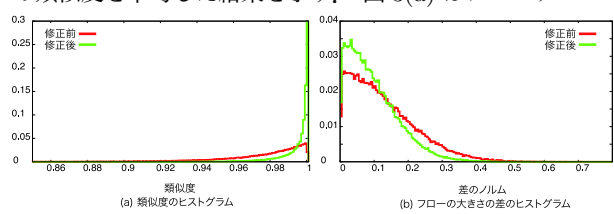


図 3:類似度のヒストグラム

の方向の類似度のヒストグラムであり、修正前は、誤差 10 度以内のシーンフローが全体の 56.7% であるのに対し、修正後は 94.2% まで向上した。図 3(b) は大きさに対するヒストグラムであり、修正前は、誤差 10% 以内のシーンフローが全体の 46.3% であるのに対し、修正後は、58.3% まで向上した。

5.2. シミュレーションによるモーション推定実験

シミュレーションで復元された3次元シーンフローからモーション推定の実験を行う。修正前のシーンフローの全点から推定した結果と比較する。それぞれの運動に対し、推定されたモーションパラメータの誤差の平均を表1に示す。Subspace 拘束により修正したシーンフローに対し、

表 1: モーション推定誤差

7 1 1 1 1 1 1 1 1 1 1 1 1 1 1 1 1 1 1 1							
	修正前	修正前	修正後				
	全点	RANSAC	RANSAC				
平行移動	1.21E-04	1.16E-03	4.79E-04				
回転運動	1.86E-02	8.34E-04	3.70E-04				
平行移動 + 回転運動	1.05E-02	2.20E-03	1.21E-03				

RANSACを用いた場合に最も良い精度でパラメータを推定できていることが分かる。これは修正を行うことで、シーンフローに含まれるノイズの影響を低減することができ、RANSACによりアウトライアを削除することができたと考えられる。

5.3. 実画像を用いた実験

実画像を用いた実験を行う。実験環境は,図 4(a) に示すように,3次元空間中に配置した5台のカメラを用いる。対象とする物体は,図 4(b) に示すように,ルービックキューブを持った人間の腕部とする。オプティカルフローの計算にはブロックマッチング法を用い,Vedula らの手法 [1] を用いてシーンフローを復元する。本実験では,y 軸方向に 1 秒間に約 15cm 平行移動した場合と,x 軸を中心に約 180 度回転した場合の 2 つのシーケンスを対象とする。図 4(c) のオプティカルフローを入力とした際のシーンフロー復元例を図 5 に示す。図 5(a) では分散しているシーンフロー

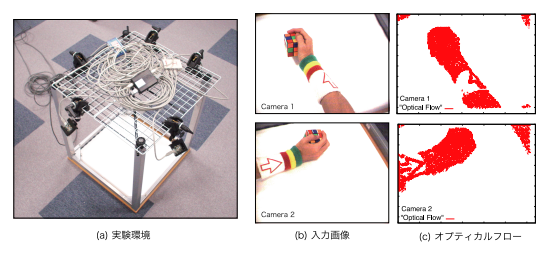


図4:実験環境と入力データ

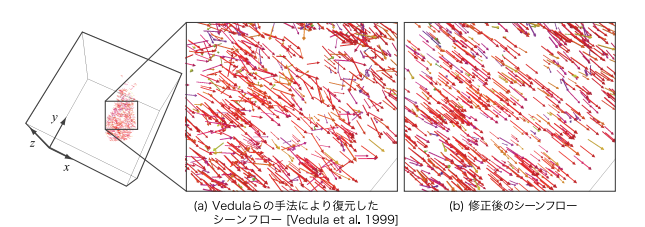


図 5: 平行移動における 3 次元シーンフローの例

が、Subspace 拘束により、同一の方向へ修正されていることが分かる。表2に、平行移動と回転運動のモーション推定結果に示す。 平行移動では、最も数値の高いパラメー

表 2: モーション推定結果

	ω_x [deg/f]	$\omega_y \ _{ m [deg/f]}$	ω_z [deg/f]	$t_x_{\rm [mm/f]}$	$t_y^{\rm [mm/f]}$	$t_z \ _{ m [mm/f]}$
平行移動	-0.494	0.380	-0.244	0.818	-4.523	-0.078
回転運動	-5.490	-0.114	0.978	-0.246	5.901	2.197

f: frame

タは y 軸方向の移動であり、1frame(1/30sec) で約 4.5mm 移動と推定された。これは、1 秒間で 13.5cm の平行移動となり、高い精度で移動量を推定ができていることが分かる。次に回転運動では、x 軸周りの回転が 1frame で約 5.5度と推定された。実験に用いたシーケンスの真値は 6 度であり、高い精度でモーションが推定できていることが分かる。しかし、平行移動していないにもかかわらず、 t_y 成分が高い値を示している。これは、上方からこの運動を観測するため、その表面の運動が t_y 成分の運動として観測されることが原因である。この問題はカメラの台数を増やすことで解消できると考えられる。

6. おわりに

本研究では、Subspace 拘束により修正した 3 次元シーンフローから物体のモーションを推定する手法を提案し、その有効性を確認した。今後は、モーションセグメンテーションを用いた複数物体への対応を検討する予定である。

参考文献

 S. Vedula, S. Baker, P. Rander, R. Collins, T. Kanade, "Three-Dimensional Scene Flow", Proceedings of the 7th International Conference on Computer Vision, Vol. 2, September, pp. 722 - 729, 1999.

研究業績

- [1] 水野宏基, 藤吉弘亘, 岩堀祐之. "マルチカメラを用いた 3 次 元シーンフローによるモーション推定", 画像の認識・理解シ ンポジウム (MIRU2006), p 529 - 534, 2006.
- (他 研究会技術報告 1 件, 学会口頭発表 2 件)